

JT-60Uにおける速い周波数掃引モードの 計算機シミュレーション

藤堂 泰（核融合研）

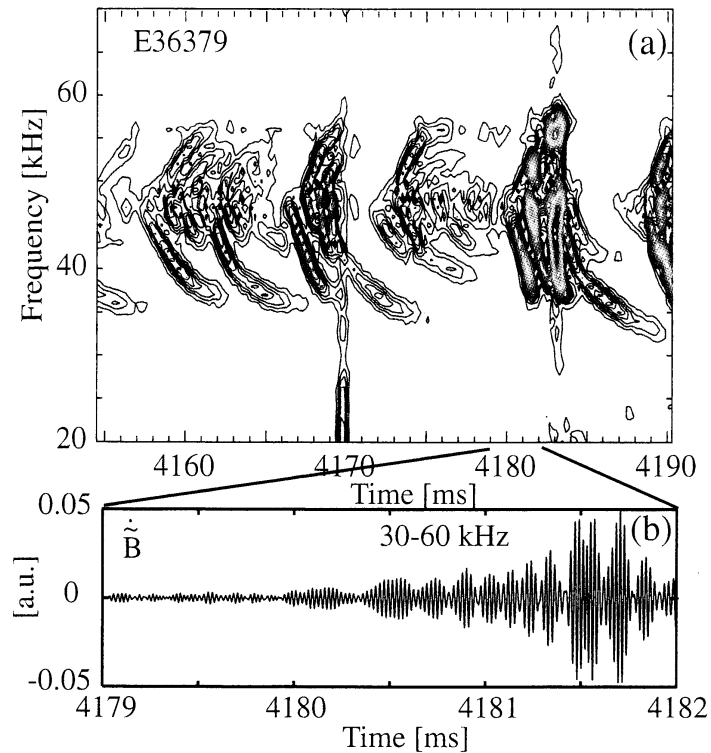
共同研究者：篠原孝司、武智学、石川正男（原研）

2003年7月31日～8月1日

第1回核燃焼プラズマ統合コード研究会

京都大学大学院工学研究科原子核工学専攻第1演習室

Fast Frequency Sweeping Mode observed in the JT-60U plasma

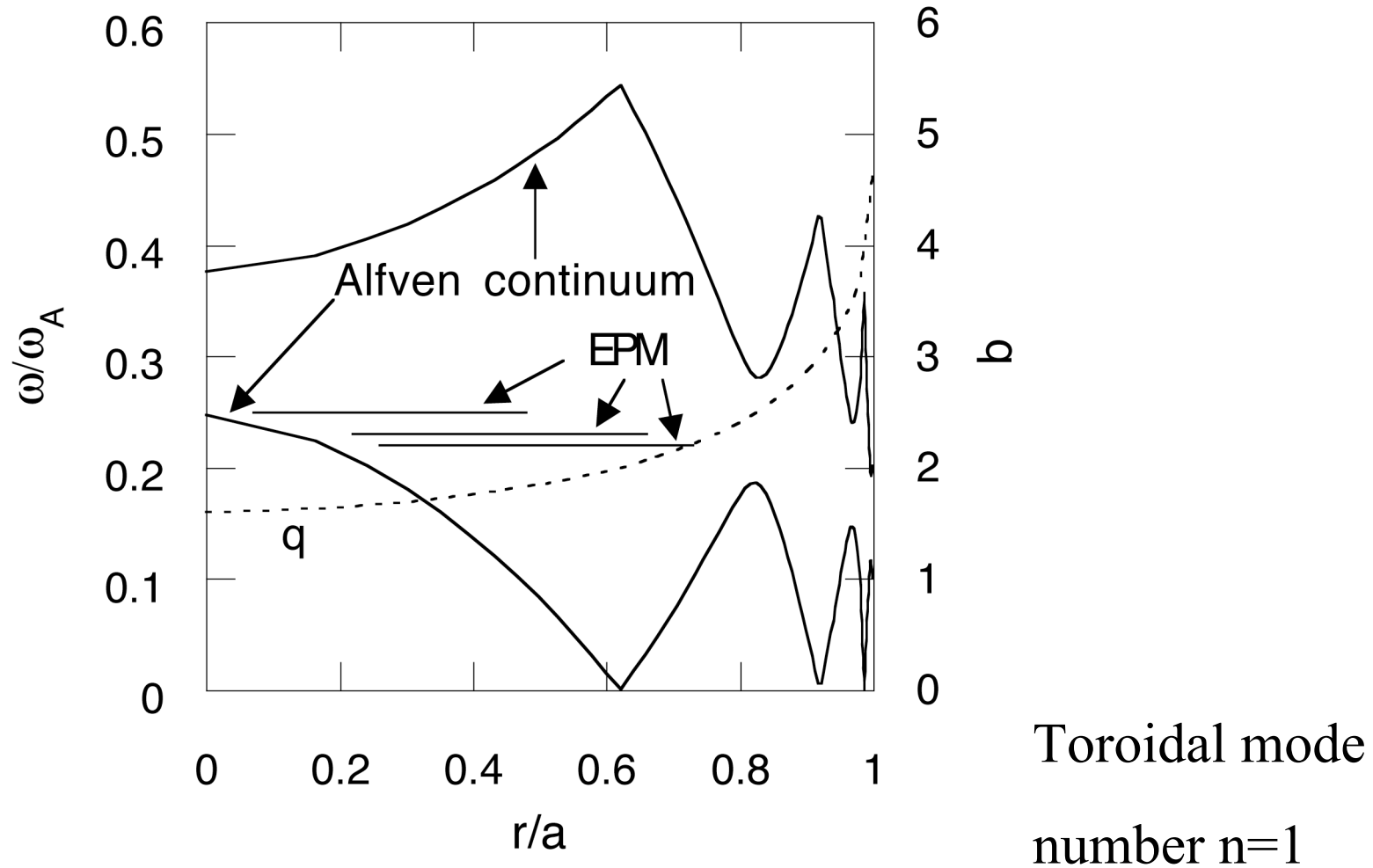


K. Shinohara et al., Nucl. Fusion 41, 603 (2001).

Frequency sweeping takes place both upwards and downwards by 10-20kHz in 3-5 ms.

Figure 7. (a) Time traces of the frequency spectrum of magnetic fluctuations during fast FS modes. (b) Time trace of a filtered magnetic probe signal by using a numerical band pass filter with a band frequency of 30-60 kHz.

q-profile and shear Alfvén continuous spectra



MHD Equations

$$\begin{aligned}\frac{\partial \rho}{\partial t} &= -\nabla \cdot (\rho \mathbf{v}) \\ \rho \frac{\partial}{\partial t} \mathbf{v} + \rho \mathbf{v} \cdot \nabla \mathbf{v} &= -\nabla p + \frac{1}{\mu_0} (\nabla \times \mathbf{B}) \times \mathbf{B} \\ \frac{\partial \mathbf{B}}{\partial t} &= -\nabla \times \mathbf{E} \\ \frac{\partial p}{\partial t} &= -\nabla \cdot (p \mathbf{v}) - (\gamma - 1) p \nabla \cdot \mathbf{v} \\ \mathbf{E} &= -\mathbf{v} \times \mathbf{B}\end{aligned}$$

Effects of Fast Ions to MHD

$$\begin{aligned}\rho \frac{\partial}{\partial t} \mathbf{v} + \rho \mathbf{v} \cdot \nabla \mathbf{v} &= \left(\frac{1}{\mu_0} \nabla \times \mathbf{B} - \underline{\mathbf{j}'_{\alpha}} \right) \times \mathbf{B} - \nabla p \\ \mathbf{j}'_{\alpha} &\equiv \int (\mathbf{v}_{\parallel}^* + \mathbf{v}_B f d^3 v) + \nabla \times \mathbf{M} \\ &= \mathbf{j}_{\alpha\parallel} + \frac{1}{B} (P_{\alpha\parallel} \nabla \times \mathbf{b} - P_{\alpha\perp} \nabla \ln B \times \mathbf{b}) + \nabla \times \left(\frac{P_{\alpha\perp}}{B} \mathbf{b} \right)\end{aligned}$$

[Todo and Sato, Phys. Plasmas **5**, 1321 (1998)]

$$\rho \frac{\partial}{\partial t} \mathbf{v} + \rho \mathbf{v} \cdot \nabla \mathbf{v} = \frac{1}{\mu_0} (\nabla \times \mathbf{B}) \times \mathbf{B} - \nabla P_{\alpha} - \nabla p$$

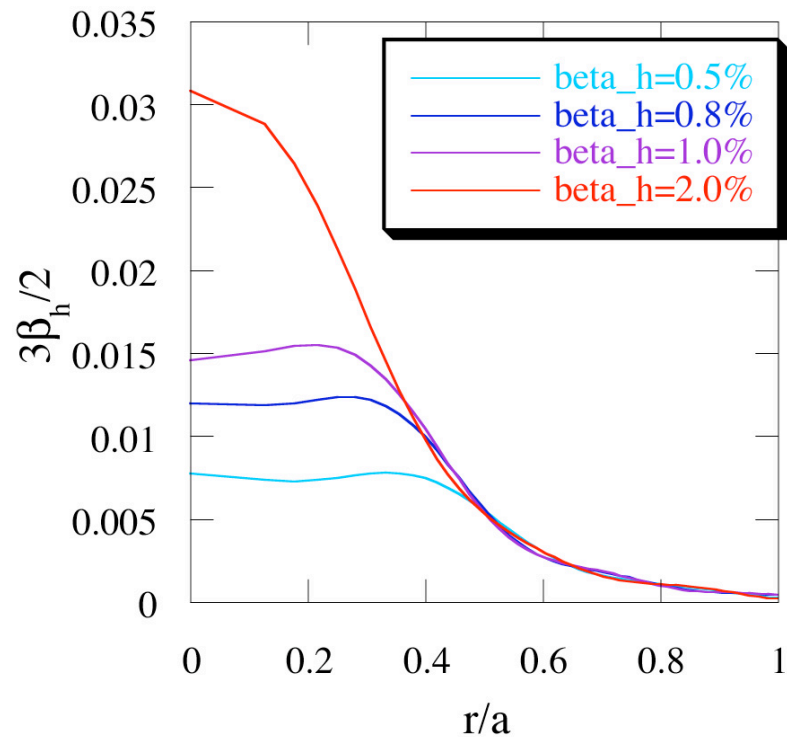
(For isotropic fast ion distribution)

高速イオン分布の時間発展は、□粒子シミュレーション手法を用いて追跡する。

Initial condition

1. $R_0 = 3.4 \text{ m}$, $a = 1.0 \text{ m}$
2. $B = 1.2 \text{ T}$
3. DD plasma
4. $n_e = 1.6 \cdot 10^{19} \text{ m}^{-3}$
5. Alfvén velocity $4.6 \cdot 10^6 \text{ m/s}$
6. Injection velocity energy $5.75 \cdot 10^6 \text{ m/s}$
7. Injection energy 346 keV

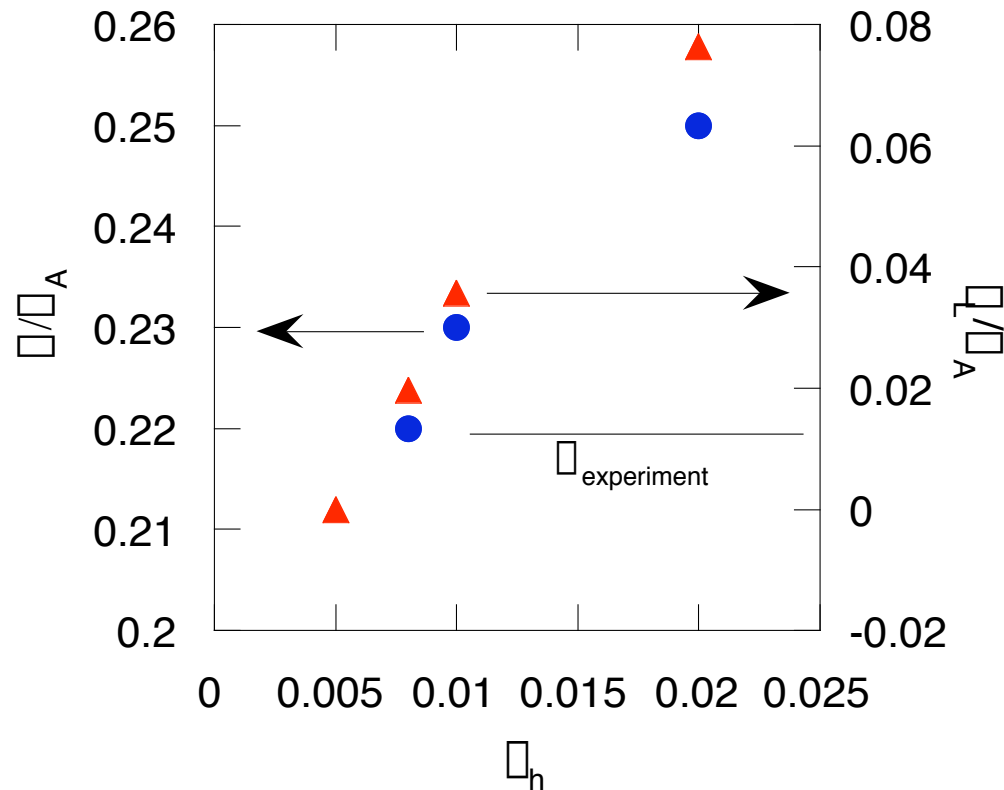
高速イオン圧力分布依存性を調べる



Beta_h=2%の分布は
OFMCによる計算結果に
基づく。

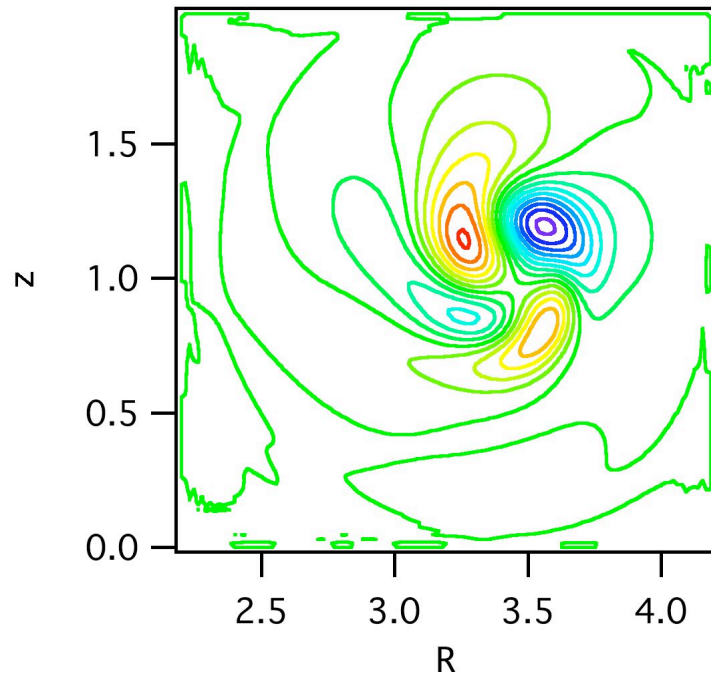
アルヴェンモードによる
高速イオン分布変化を想定して、
中心部分の高速
イオン圧力を下げた場合
を合わせて調べる。

周波数と成長率が高速イオン圧力分布に依存

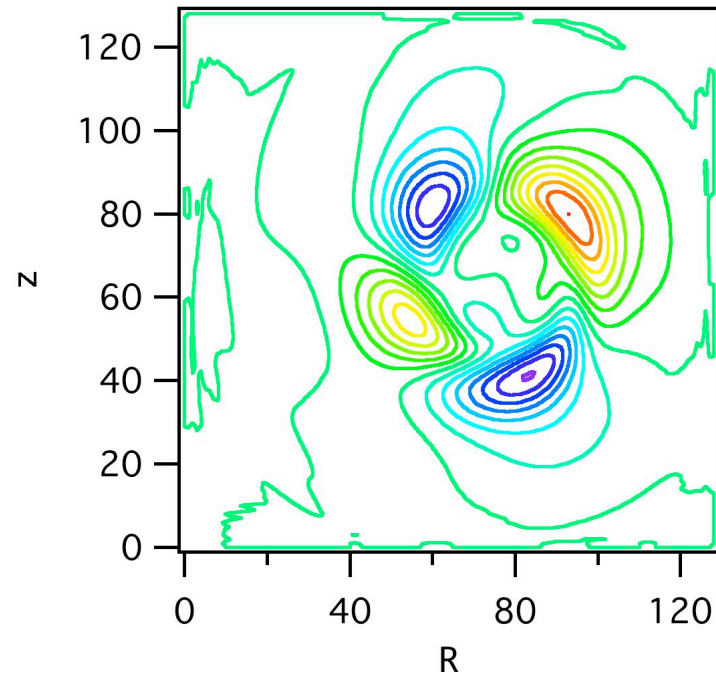


周波数と成長率が β_h に依存する。

モード空間分布も高速イオン圧力分布に依存



beta_h=2%

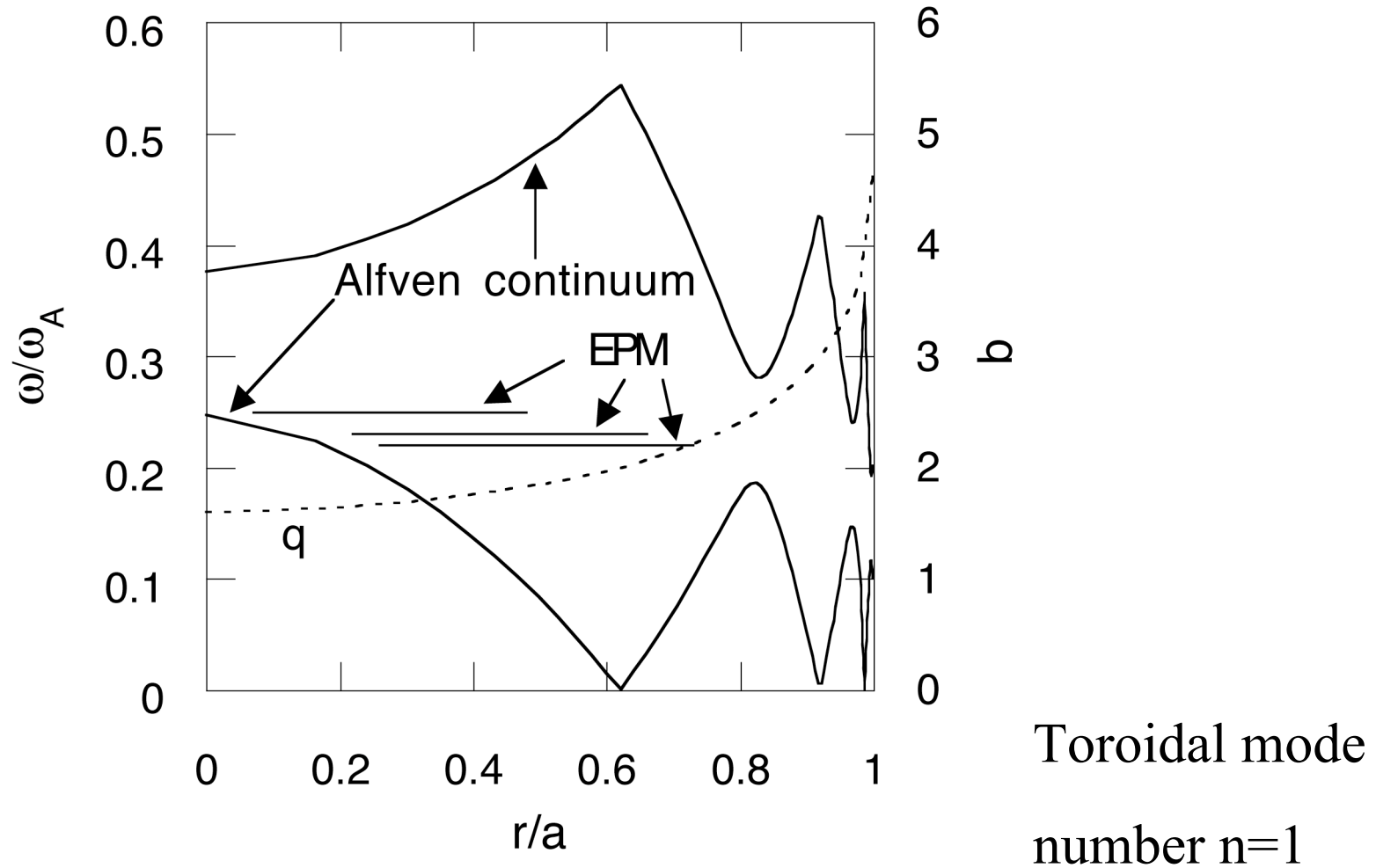


beta_h=1%

モード空間分布も β_h に依存する。高速イオン圧力勾配の大きいところに局在している。

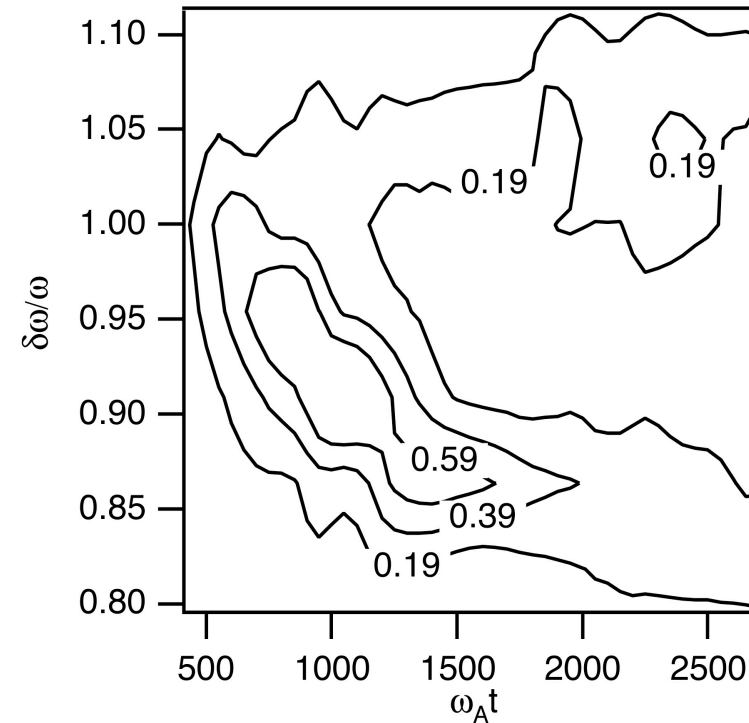
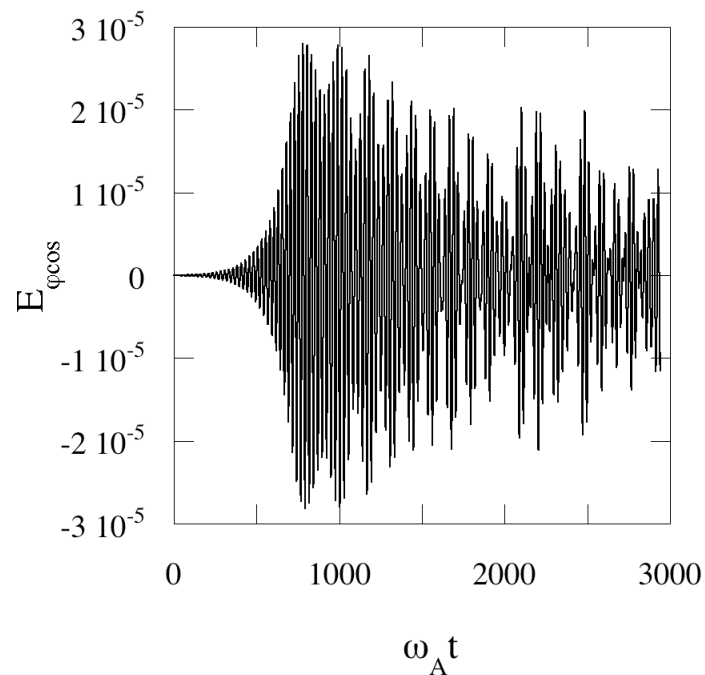
-----> Energetic Particle mode (EPM)

q-profile and shear Alfvén continuous spectra



EPMの時間発展

(beta h=2%の分布を1/5にした場合)

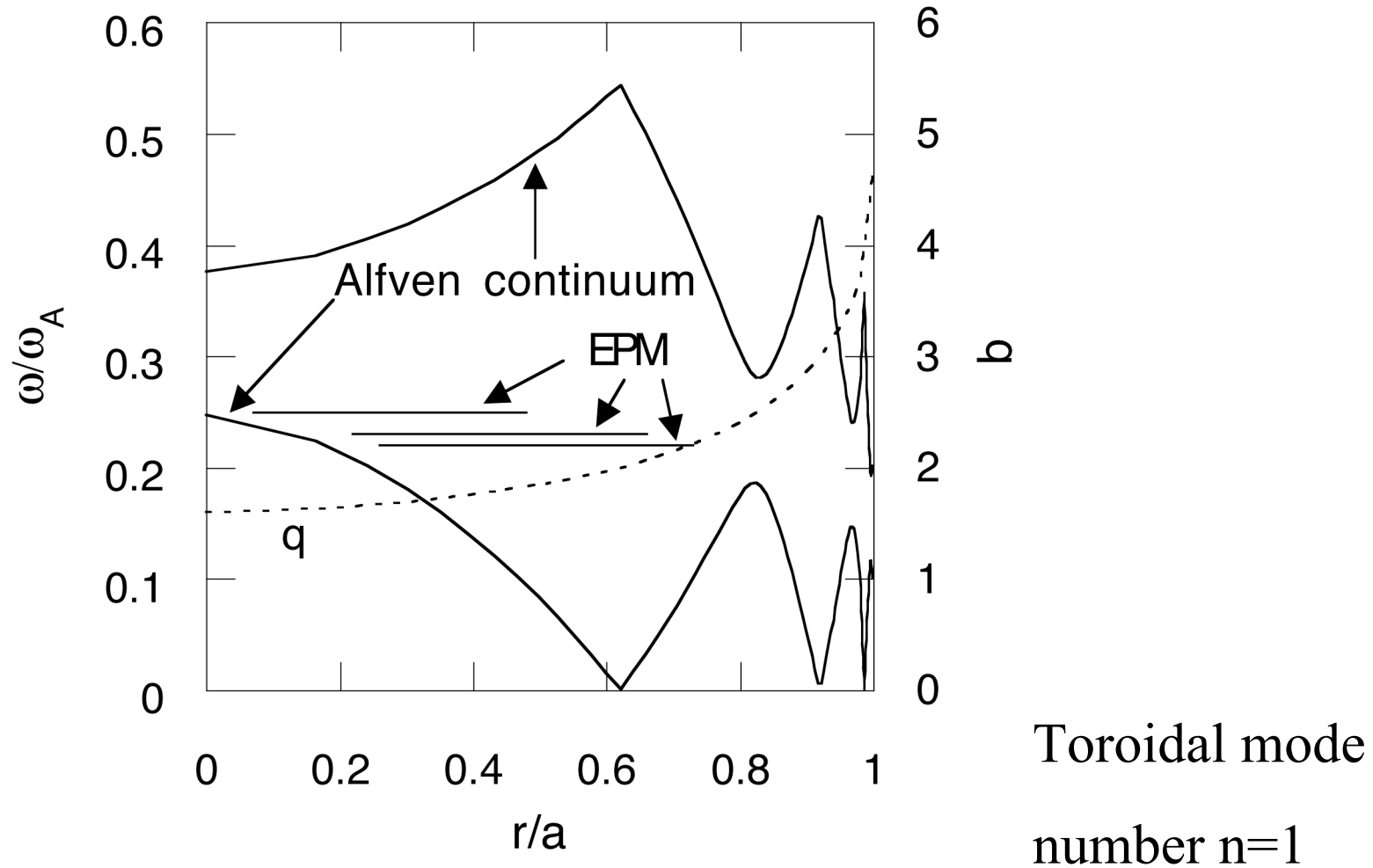


3000アルヴェン時間(=2.4ms)に周波数が上側に4kHz、
下側に9kHz変化した。

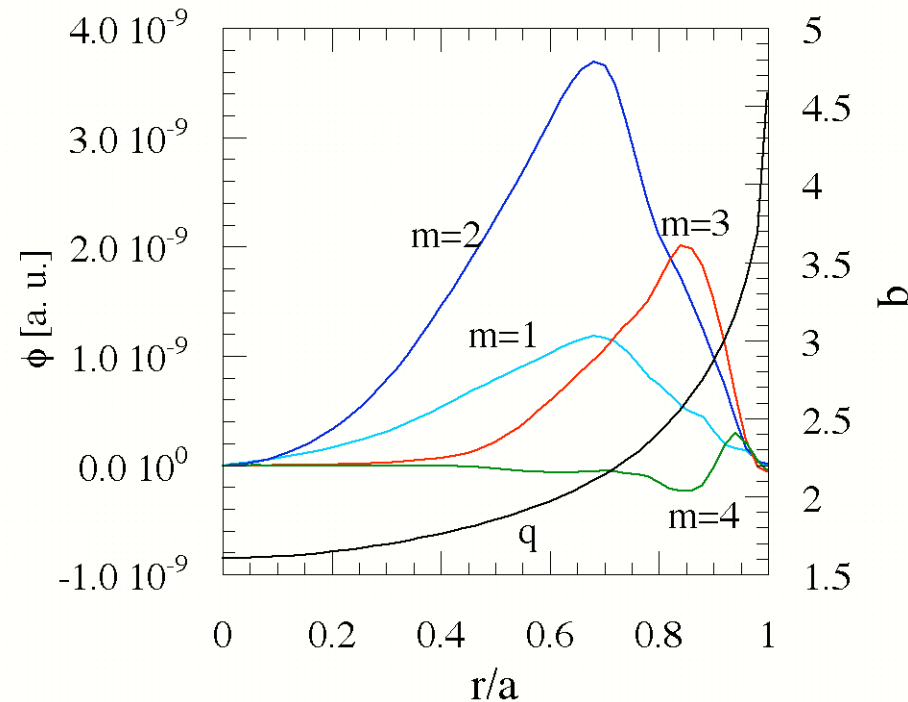
まとめ（１）

1. Fast Frequency Sweeping (FFS) mode の中心周波数とほぼ等しい周波数をもつ Energetic Particle mode (EPM) を見いだした。
2. EPM の周波数と空間分布は高速イオン分布に強く依存する。
3. EPM の時間発展を計算し、FFSモードと同程度の周波数変化が起こることを明らかにした。
4. 高速イオン初期分布が異なる場合の計算を実行中。

q-profile and shear Alfvén continuous spectra



A toroidal Alfvén eigenmode is found with Fokker-Planck-MHD [Todo et al. Nucl. Fusion 41, 1153 (2001)]



Mode number $m=2,3/n=1$

Frequency 51kHz

(Central frequency in the experiment: ~ 50 kHz)

摂動論的シミュレーション

1. 固有モードを求める：
運動論的MHDシミュレーション
(TAEの非線形計算を行った結果、成長期にはモード構造は一定であった。[Y. Todo et al., Nucl. Fusion **41**, 1153 (2001)]
——> 摂動論的シミュレーション)
2. 摂動論的シミュレーション：モード空間分布・周波数をあらかじめ与え、モードの振幅・位相と高速イオンの運動を自己無撞着に追跡する。

より現実的なパラメータを用いた長時間（約10倍）の追跡が可能！

Equations of motion

$$\frac{d\mathbf{x}}{dt} = V\hat{\mathbf{b}} + \mathbf{V}_E + \frac{m_f V^2 (1 + \hat{\mathbf{v}}^2)}{2q_f B_0 R_0} \hat{\mathbf{z}},$$

$$\frac{dV}{dt} = \frac{V(1 + \hat{\mathbf{v}}^2)}{2B_0 R_0} E_z \mp (V + \frac{V^3}{V^2}),$$

$$\frac{d\hat{\mathbf{v}}}{dt} = \frac{(\hat{\mathbf{v}} \times \hat{\mathbf{v}})}{2B_0 R_0} E_z + \frac{V(1 \mp \hat{\mathbf{v}}^2)}{2R} b_R,$$

$$\hat{\mathbf{v}}_{new} = \hat{\mathbf{v}}_{old} (1 \mp 2\hat{\mathbf{v}}_{old} \cdot \hat{\mathbf{v}}) \pm [(1 \mp \hat{\mathbf{v}}_{old}^2) 2\hat{\mathbf{v}}_{old} \cdot \hat{\mathbf{v}}]^{1/2}$$

[A. H. Boozer and G. Kuo-Petravic, Phys. Fluids **24**, 851 (1981).]

Electromagnetic Field

$$\varphi_s(R, \vartheta, z) = X \sum_m \varphi_m(r) \sin(n\vartheta + m\varphi - \omega t),$$

$$\varphi_c(R, \vartheta, z) = Y \sum_m \varphi_m(r) \cos(n\vartheta + m\varphi - \omega t),$$

$$\varphi = \varphi_s + \varphi_c,$$

$$A_{\parallel s}(R, \vartheta, z) = X \sum_m a_{\parallel m}(r) \sin(n\vartheta + m\varphi - \omega t),$$

$$A_{\parallel c}(R, \vartheta, z) = Y \sum_m a_{\parallel m}(r) \cos(n\vartheta + m\varphi - \omega t),$$

$$A_{\parallel} = A_{\parallel s} + A_{\parallel c},$$

$$a_{\parallel m} = \varphi_m (n^2 - m^2 / q) / \varphi R_0$$

$$\mathbf{E}_{s(c)} = \nabla \varphi_{s(c)},$$

$$\mathbf{B}_{s(c)} = \nabla \varphi_{s(c)} \times \mathbf{b}$$

Time Evolution of the Mode

$$\frac{dX}{dt} = \left[\frac{\langle \mathbf{j}_f \cdot \mathbf{E}_s \rangle}{2W_s} \frac{1}{\omega_d} \right] X,$$

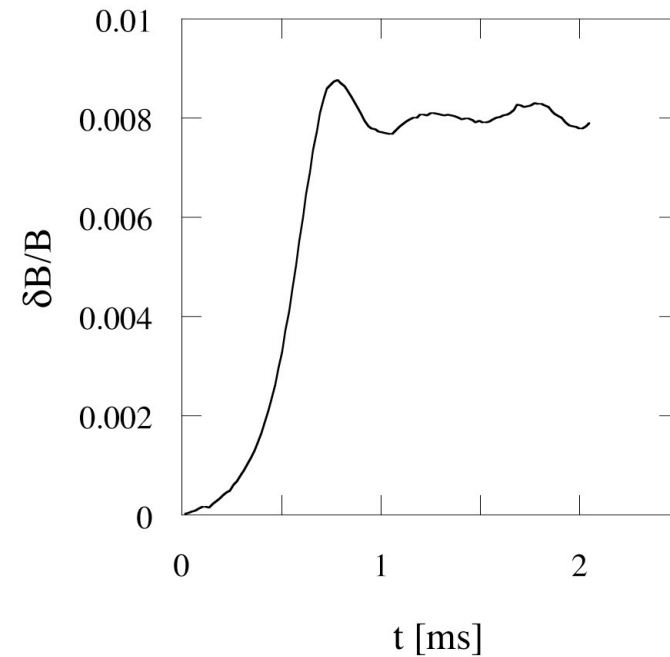
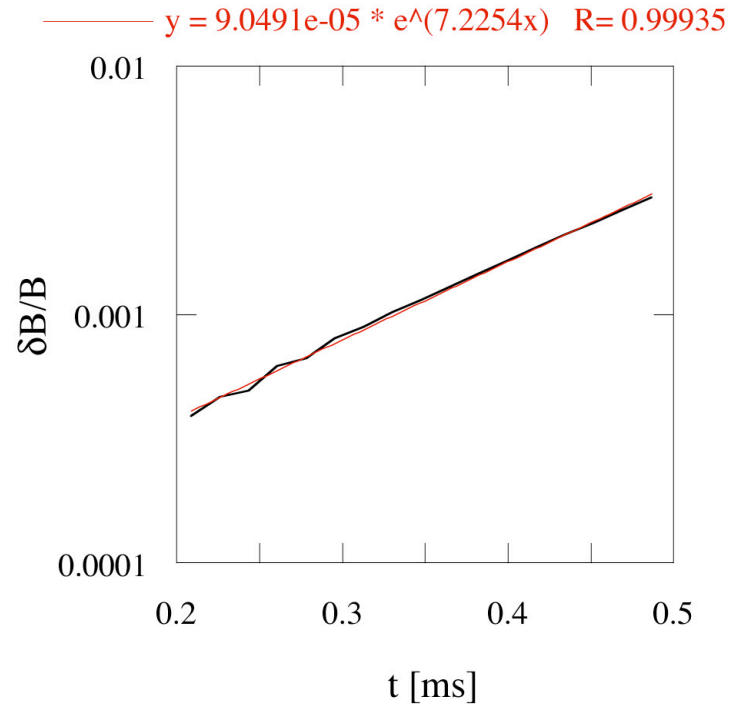
$$\frac{dY}{dt} = \left[\frac{\langle \mathbf{j}_f \cdot \mathbf{E}_c \rangle}{2W_c} \frac{1}{\omega_d} \right] Y,$$

$$\mathbf{j}_f = \sum_i w_i \frac{m_f V_i^2 (1 + \hat{\mathbf{z}}^2)}{2B_0 R_0} \hat{\mathbf{z}}$$

$$W_{s(c)} = \left\langle \frac{1}{2\mu_0} \mathbf{B}_{s(c)}^2 + \frac{1}{2\mu_0 V_A^2} \mathbf{E}_{s(c)}^2 \right\rangle$$

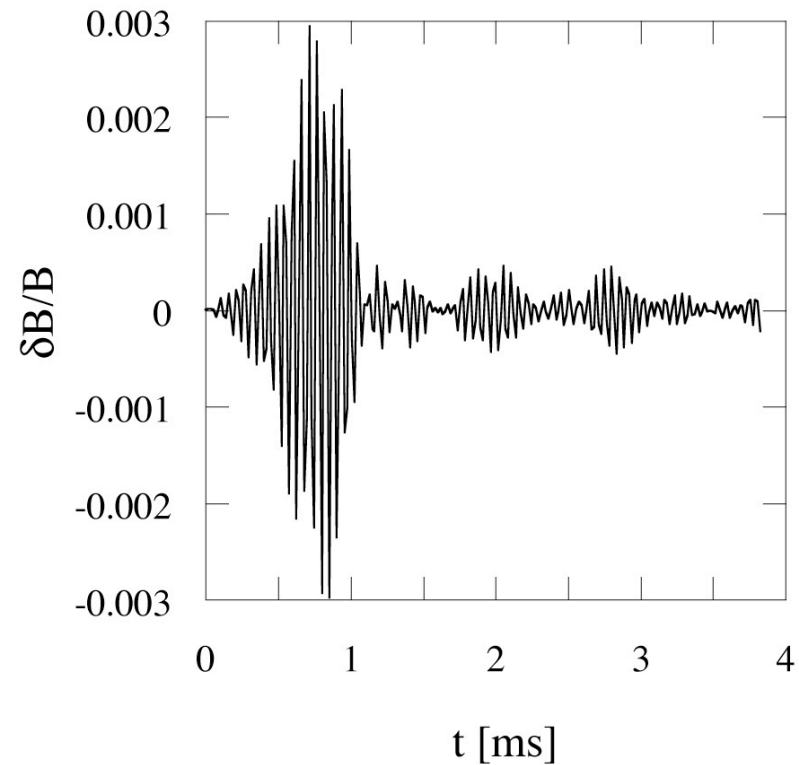
Similar to H.L.Berk, B.N.Breizman, and M.S.Pekker,
Nucl. Fusion **35**, 1713 (1995).

Time evolution with $\Gamma_d=0$



$\Gamma_L = 7.2 \cdot 10^3 \text{ s}^{-1}$, the amplitude oscillation takes place after the saturation.

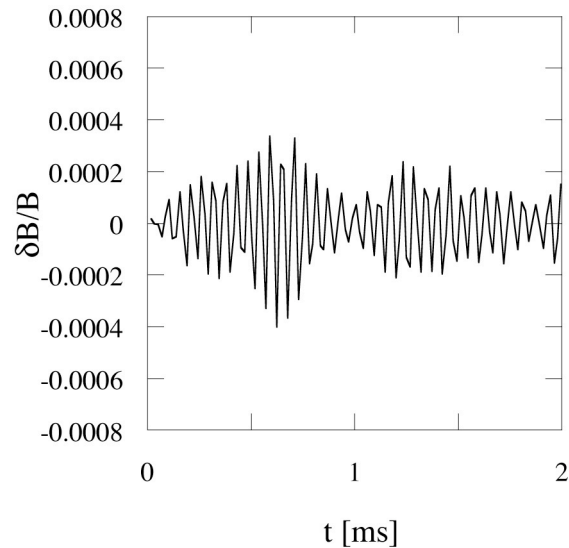
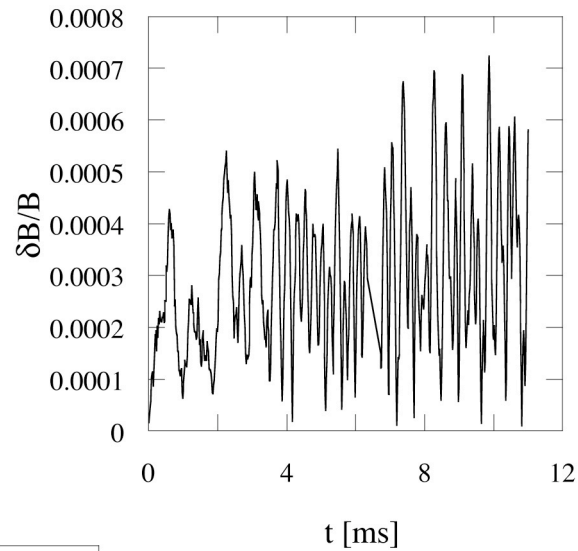
Time evolution with $\Gamma_d = 2 \cdot 10^3 \text{ s}^{-1}$



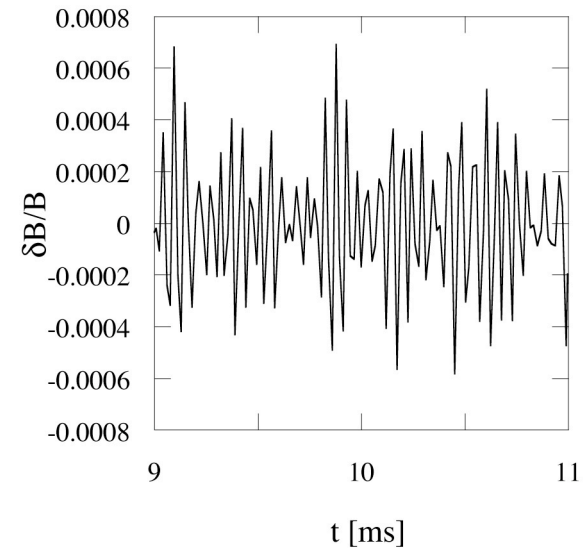
The amplitude grows once and later damps gradually.

Time evolution with $\Gamma_d = 6 \cdot 10^3 \text{ s}^{-1}$

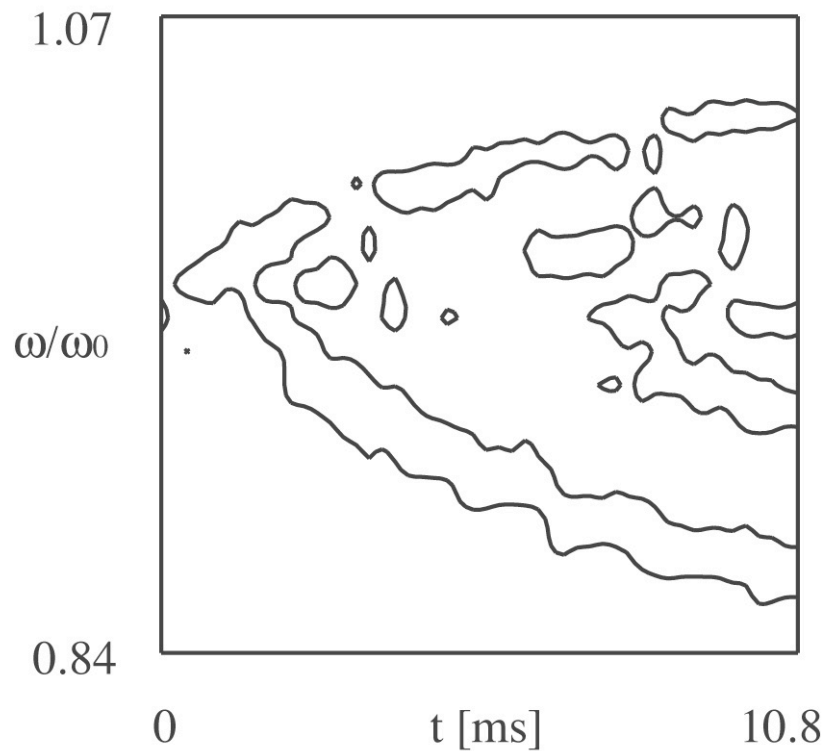
Amplitude
does not
decay.



The beat
frequency is
higher in the
later phase.



Frequency evolution with $\Gamma_d = 6 \cdot 10^3 \text{ s}^{-1}$



Frequency sweeping
takes place by 4kHz
in 5ms.

まとめ（2）

1. 線形成長率と減衰率が近い場合に、TAEの周波数掃引が起こった。その変化（分離）率はEPMの約1/4であり、EPMの方が実験に近い。
2. EPMの方がTAEよりも成長率が大きく、周波数変化（分離）率も大きい。これは、Berk and Breizmanがbump in tail instabilityについて発見した現象と矛盾しない。

まとめ（3）

1. TAEは摂動論的シミュレーションが適用可能であり、比較的高速に計算できる。
2. 一方、EPMの空間分布と周波数は高速イオン分布に依存するため、非摂動論的な計算手法が必要であり、より長い計算時間を要する。